

## ИЗМЕРИТЕЛЬНЫЕ ПЕРВИЧНЫЕ ПРЕОБРАЗОВАТЕЛИ (ДАТЧИКИ)

УДК 621.398.694.3 : 531.787.913

Р. Г. ДЖАГУПОВ, Т. А. МЕЛИК-ШАХНАЗАРОВА

(Баку)

### ПЬЕЗОЭЛЕКТРИЧЕСКИЙ ИЗМЕРИТЕЛЬНЫЙ ПРЕОБРАЗОВАТЕЛЬ С ГАЛЬВАНИЧЕСКИ РАЗДЕЛЕННЫМИ ЦЕПЯМИ

Пьезоэлектрические измерительные преобразователи [1], отличающиеся простотой конструкции и высокомомным входным сопротивлением ( $10^{11}$ — $10^{15}$  ом), используются для создания различных недорогостоящих простых в эксплуатации и надежных [2] приборов, предназначенных для измерения напряжения маломощных источников ( $10^{-6}$  вт), например РН-метров, приборов для измерения сопротивления изоляции, напряженности электрического поля и т. д. Однако прямой принцип преобразования, рассмотренный в [3], не обеспечивает высокой точности и чувствительности. Поэтому представляется перспективным построение пьезоэлектрических измерительных преобразователей, в основу работы которых положен компенсационный принцип (рис. 1).

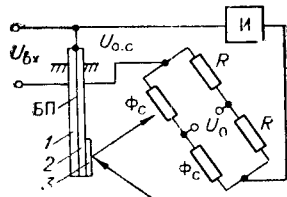


Рис. 1.

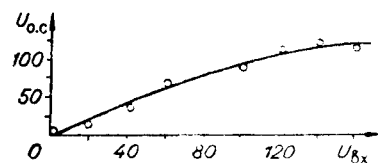


Рис. 2.

Хорошие практические результаты получаются при уравновешивании биморфной пластинки (БП) двумя напряжениями (измеряемым  $U_{bx}$  и обратной связи  $U_{o.c.}$ ), на электрически не связанных пьезоэлементах 1 и 2. Цепь обратной связи образуется за счет преобразования изгиба биморфной пластины, происходящего при подключении прибора к измеряемому источнику, в напряжение обратной связи, снимаемое с фотозелектрического моста ( $\Phi_c R$ ), сопротивление которого изменяется за счет смещения светового луча, отраженного от зеркальца 3. Измеряемая величина регистрируется индикатором (И).

С достаточной для практики точностью пьезоэлектрический измерительный преобразователь в статике описывается следующими уравнениями:

для моста с включенным фоторезистором

$$3 = \frac{K_1}{E}; \quad E = \frac{K_2}{N}; \quad N = \frac{L}{l_1} \Delta; \quad U_{o.c.} = \frac{U_0}{4} \beta; \quad (1)$$

для пьезоэлектрической биморфной пластинки [3, 4]

$$\Delta = 23,5 \cdot 10^{-13} \frac{\varepsilon^2 l_1^2 E_{\text{п}} U_{\text{вх}}}{E_y l_2^2}. \quad (2)$$

В (1) и (2) приняты обозначения:  $K_1, K_2$  — коэффициенты пропорциональности, зависящие от типа фотодиода [5];  $E, F_{\text{п}}, E_y$  — освещенность, напряженность поля поляризации и модуль упругости пьезокерамики;  $N, L$  — величина перемещения светового луча по чувствительной поверхности и кратчайшее расстояние между зеркалами и фотодиодом;  $l_1, l_2$  — геометрические размеры пластинки;  $U_0$  — напряжение питания моста;  $\varepsilon$  — относительная диэлектрическая постоянная.

Соотношения (1) соответствуют тому, что при отсутствии изгиба биморфной пластинки, т. е. тогда, когда измеряемое напряжение равно нулю, освещенность  $E$  фотодиода максимальна, а относительное изменение сопротивления  $\beta$  минимально.

Совместное решение уравнений (1) и (2) дает зависимость между регистрируемым и измеряемым напряжениями, т. е.

$$U_{\text{o.c}} = K_0 U_{\text{вх}}; \quad (3)$$

$$K_0 = 5,8 \cdot 10^{-13} \frac{\varepsilon^2 l_1 L K_1 E_{\text{п}} U_0}{K_2 E_y l_3^2}. \quad (4)$$

Если, например, в приборе используем пьезоэлектрическую биморфную пластинку из ЦТС-19 ( $L_1=6 \cdot 10^{-2}$  м;  $L_2=1 \cdot 10^{-2}$  м;  $L_3=5 \cdot 10^{-4}$  м) и фотодиод ФС-К4 и имеем  $\varepsilon=1500$ ,  $E_{\text{п}}=2 \cdot 10^6$  в/м,  $E_y=4 \cdot 10^{10}$  н/м<sup>2</sup>,  $K_1=4$ ,  $K_2=0,8$  (мост уравновешен при освещенности  $E=200$  лк), то при питании моста  $U_0=150$  в напряжению  $U_{\text{вх}}=1$  в соответствует  $U_{\text{o.c}}=0,9$  в.

На рис. 2 приведены результаты экспериментального исследования зависимости (3). Имеющиеся данные позволяют сделать вывод, что введение цепи обратной связи достаточно хорошо компенсирует нелинейность характеристики фотодиода в области больших и малых освещенностей.

Рассматриваемый преобразователь имеет два инерционных звена (биморфную пластинку и фотодиод), динамика которых рассмотрена в [4, 5]. Воспользовавшись этими данными и опуская вывод, передаточную функцию преобразователя и постоянные, входящие в ее состав, можно представить в виде

$$W(p) = K_0 \frac{(T p + 1)}{[(\tau + T)p + 1]}, \quad (5)$$

где  $T, \tau$  — постоянная времени биморфной пластинки и фотодиода,

$$T = 2 \cdot 10^{-11} \frac{\varepsilon l_1 l_2 R_m}{l_3}. \quad (6)$$

Здесь  $R_m$  — сопротивление диагонали моста, с которой напряжение подается на пьезоэлемент. Так, при  $\tau=0,02$  сек;  $R_m=10^6$  ом  $T=1,8 \cdot 10^{-2}$  сек.

На рис. 3 приведены экспериментальные амплитудно-фазовые характеристики преобразователя. Они позволяют установить среднее значение постоянной времени прибора, которое равно  $T_0=0,031$  сек.

Для разомкнутой схемы точность преобразователя обусловливают две основные погрешности.

1. Погрешность пьезоэлектрической биморфной пластинки, которая включает три составляющие:

А. Погрешность за счет разброса констант, характеризующих физические свойства пьезоэлектрика и геометрических размеров биморфной пластинки:

$$\delta_1 = \left( \sqrt{4\left(\frac{\delta \epsilon}{\epsilon}\right)^2 + \left(\frac{\delta E_p}{E_p}\right)^2 + \left(\frac{\delta E_y}{E_y}\right)^2 + 4\left(\frac{\delta l_1}{l_1}\right)^2 + 4\left(\frac{\delta l_3}{l_3}\right)^2} \right) \cdot 100\%. \quad (7)$$

Статистический анализ параметров, входящих в эту формулу, показывает, что наибольший разброс относительно номинального значения имеют  $\epsilon$  и  $E_y$ . Это объясняется спецификой технологии синтеза пьезокерамики.

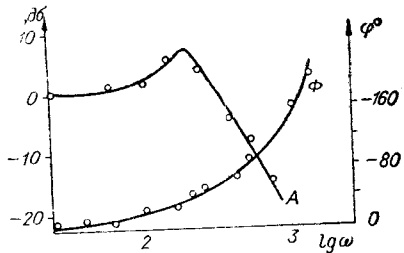


Рис. 3.

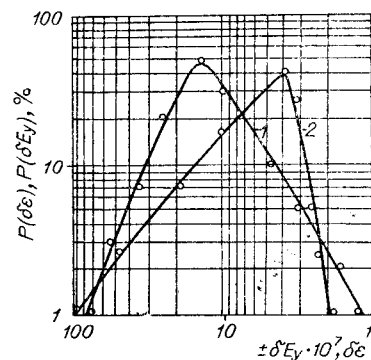


Рис. 4.

рамики, повышение требований к которой с целью уменьшения  $\delta_1$  сопряжено с целым рядом трудностей. На рис. 4 приведены экспериментальные данные для вероятностей появления абсолютных погрешностей этих величин (кривая 1 — для  $E_y$ , кривая 2 — для  $\epsilon$ ). Так как рассмотренная погрешность не носит флюктуационного характера, то она может быть скомпенсирована во время настройки прибора.

Б. Погрешность, характеризующая отсутствие устойчивого нулевого положения биморфной пластинки в результате имеющейся остаточной деформации  $\sigma$ , возникающей при изгибе:

$$\delta_2 = \frac{\delta}{\Delta} \cdot 100\%. \quad (8)$$

Результаты экспериментального исследования остаточной деформации биморфной пластинки из ЦТС-19 с  $\Delta=10^{-3}$  (рис. 5) дают возможность сделать вывод, что ее величина определяется геометрическими размерами пьезоэлементов. В частности, увеличение длины приводит к резкому возрастанию этой погрешности. Приведенные в [3] данные позволяют определить ее величину.

В. Погрешность, возникающая при изменении температуры и проявляющаяся в том, что одному и тому же напряжению, поданному на биморфную пластинку, соответствуют различные изгибы [3]:

$$\delta_3 = \frac{\Delta_{20^\circ} - \Delta_t}{\Delta_{20^\circ}} \cdot 100\%, \quad (9)$$

где  $\Delta_{20^\circ}$ ,  $\Delta_t$  — изгиб пластинки при нормальной и реальной температуре. Соответствующие экспериментальные данные

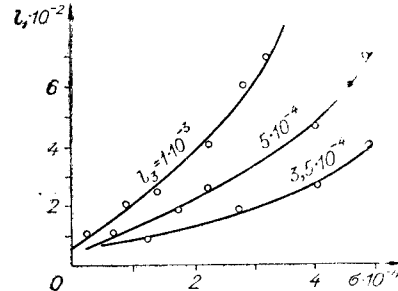


Рис. 5.

приведены на рис. 6. Таким образом, суммарная погрешность пьезоэлектрической биморфной пластинки описывается выражением

$$\delta_{\text{п.п.}} = \sqrt{\delta_1^2 + \delta_2^2 + \delta_3^2}. \quad (10)$$

2. Погрешность фотодиода  $\delta_\phi$  состоит из погрешности, возникающей из-за разброса параметров, нелинейности и изменения температуры. Первая составляющая этой погрешности может быть скомпенсирована при настройке прибора.

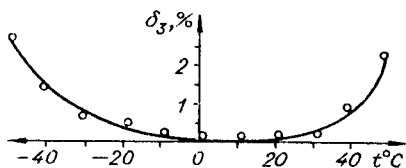


Рис. 6.

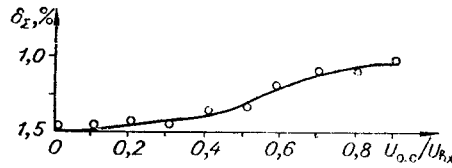


Рис. 7.

Общая погрешность равна

$$\delta_\Sigma = \sqrt{\delta_{\text{п.п.}}^2 + \delta_\phi^2}. \quad (11)$$

Введение отрицательной обратной связи существенно уменьшает погрешность преобразователя (рис. 7).

Одним из основных параметров преобразователя — порог чувствительности — определяется тем минимальным напряжением, которое может быть преобразовано биморфной пластинкой, а соответствующий этому напряжению изгиб регистрируется фотодиодом. Порог чувствительности биморфной пластины

$$\Delta E_{\text{вх min}} = \frac{U_{\text{вх min}}}{l_3} \quad (12)$$

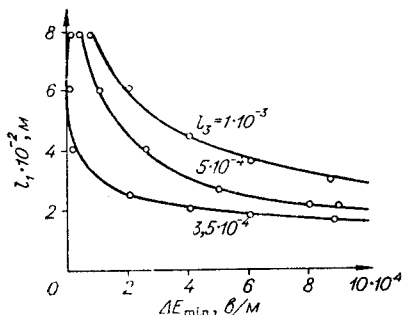


Рис. 8.

зависит от ее геометрических размеров, о чем свидетельствуют экспериментальные данные (рис. 8). Для фотодиодов он характеризуется той минимальной освещенностью, при которой изменение сопротивления находится в пределах линейности [5]. Как показывает практика, в данном преобразователе порог чувствительности определяется биморфной пластинкой. В частности, для рассматриваемого случая он равен  $\Delta E_{\text{вх min}} = 0,1 - 0,2$  в.

#### ЛИТЕРАТУРА

1. Р. Г. Д жагупов, В. И. М амедов. Высоковольтный электростатический вольтметр. Авторское свидетельство № 155549.—БИ, 1963, № 3.
2. Р. Г. Д жагупов. К вопросу о надежности пьезоэлектрического преобразователя.—Изв. ЛЭТИ им. В. И. Ульянова, вып. 56, ч. 2. Л., 1966.
3. Р. Г. Д жагупов, Ю. В. Ко ролев, Ю. С. Ра гозин. Пьезоэлектрический вольтметр.—Приборостроение, 1966, № 1.
4. Ф. В. Седыкин, Р. Г. Д жагупов, В. А. Захаров. Пьезоэлектрический преобразователь для электропневматического усилителя.—Приборы и системы управления, 1967, № 5.
5. В. И. Л итвак. Фотоэлектрические датчики в системах контроля, управления и регулирования. М., [Б. И.], 1966.

Поступила в редакцию  
19 мая 1970 г